

## بررسی تأثیر ارتعاشات فرااصوت بر خواص مکانیکی ورق دو لایه فولاد کم کربن - تیتانیوم خالص در فرآیند شکل دهی افزایشی

محمد رضا ساختمانیان<sup>۱</sup>، محمد هنر پیشه<sup>۲</sup> و سعید امینی<sup>۳</sup>

(تاریخ دریافت: ۱۳۹۶/۰۸/۰۹، ش.ص ۱۰۹-۱۲۴، تاریخ پذیرش: ۱۳۹۶/۰۹/۲۰)

### چکیده

شكل دهی افزایشی ورق، یکی از فرایندهای تولید قطعات فلزی ورقی بدون استفاده از قالب است که به منظور نمونه سازی سریع، کاهش زمان و هزینه‌های ساخت قطعات گسترش یافته است. در این فرآیند نیز همانند دیگر فرآیندهای شکل دهی کاهش نیروی شکل دهی و بهبود خواص مکانیکی قطعه حاصل مدنظر می‌باشد که برای این منظور روش‌های مختلفی گسترش یافته است. یکی از این روش‌ها، استفاده از ارتعاشات فرااصوت و اعمال آن بر روی فرآیند می‌باشد. در این مطالعه به منظور بهبود خواص مکانیکی قطعه ساخته شده در فرآیند شکل دهی نموی از اعمال ارتعاشات فرااصوت بر روی ابزار استفاده شده است. هدف از انجام این مطالعه، بررسی تأثیر ارتعاشات فرااصوت بر خواص مکانیکی قطعات ساخته شده در فرآیند شکل دهی نموی است. برای این منظور تجهیزات مناسب برای انجام این فرآیند طراحی و ساخته شد. سپس نمونه‌های هرمی شکل تحت شرایط مختلفی از سرعت‌های پیشروعی افقی و عمودی تحت تأثیر ارتعاشات فرااصوت تولید شد و آزمون‌های سختی و کشش بر روی نمونه‌های تولید شده انجام پذیرفت. نتایج به دست آمده نشان داد که تحت تأثیر ارتعاشات فرااصوت، سختی ۵۰ درصد و استحکام کششی ۳۰ درصد افزایش یافته است. مطالعات ریزساختاری بر روی نمونه‌ها نشان داد که به دلیل افزایش دمای نمونه‌ها در نتیجه تبدیل ارتعاشات فرااصوت به گرما فرآیند تبلور مجدد پیوسته در ساختار میکروسکوپی نمونه‌ها به وقوع پیوسته است که این فرآیند، منجر به ریز شدن دانه‌ها و در نتیجه بهبود خواص مکانیکی شده است.

**واژه‌های کلیدی:** ارتعاشات فرااصوت، شکل دهی افزایشی، خواص مکانیکی، ورق دو لایه.

<sup>۱</sup>- دانشجوی دکتری - گروه ساخت و تولید- دانشکده مهندسی مکانیک- کاشان

<sup>۲</sup>- استادیار گروه ساخت و تولید- دانشکده مهندسی مکانیک- کاشان

<sup>۳</sup>- دانشیار- گروه ساخت و تولید- دانشکده مهندسی مکانیک- کاشان

\*- نویسنده مسئول مقاله:

نمودند. نتایج این محققان نشان داد که کاهش تنش تحت تأثیر ارتعاشات فرراصوت مستقل از فرکانس ارتعاشات بوده؛ اما وابسته به دامنه ارتعاشات می‌باشد. این پدیده به عنوان اثر بالاها، اثرات حجمی و نیز اثر آکوستو پلاستیک<sup>۶</sup> شناخته شده است. این اثر به صورت کاهش در تنش سیلان در حین تغییر شکل پلاستیک در یک نرخ کرنش ثابت و یا افزایش در نرخ کرنش در طول تغییر شکل پلاستیک تحت یک تنش ثابت توصیف می‌گردد. در سال ۱۹۵۷ دو محقق به نام‌های نویل و بروتن[۶] در هنگام کشش یک سیم از جنس فولاد کم کربن تحت تأثیر اعمال ارتعاشات فرراصوت اثرات مشابهی را مشاهده نمودند. در سال ۱۹۶۶ آیزومی و همکاران[۷] یک سری آزمایش برای مشاهده اثر ارتعاشات فرراصوت بر روی رفتار تغییر شکل فشاری فلزات انجام دادند. نتایج نشان داد که تحریک ارتعاشات فرراصوت بر روی ماده، باعث کاهش تنش سیلان فشاری و سختی ماده می‌شود. در سال‌های اخیر موثر بودن ارتعاشات فرراصوت در کاهش تنش سیلان و بهبود خواص مکانیکی ماده توسط محققان دیگر در فرآیندهای شکل‌دهی دیگری همچون کشش سیم[۸]، اکستروژن[۹]، خمکاری[۱۰]، سنگزنی[۱۱]، ماشینکاری[۱۲] و سوراخکاری[۱۳] مورد بررسی و تحقیق قرار گرفته است. علاوه بر کاهش در تنش سیلان، محققان مذکور آثار مثبت دیگری همچون کاهش در میزان زبری سطح، کاهش در اندازه دانه‌ها و افزایش سختی پس از اعمال ارتعاش را مشاهده نمودند. تسوجینو و همکاران[۱۰] گزارش دادند که ابزار و قالب مرتعش در عملیات زاویه خم و بهبود در کیفیت سطح خمکاری شده می‌شود. سوها و همکاران[۱۴] از ارتعاشات فرراصوت جهت افزایش سختی و استحکام خستگی انواع چاقو استفاده نمودند.

## پیشگفتار

شکل‌دهی افزایشی ورق<sup>۱</sup> (ISF)، یکی از فرایندهای تولید قطعات فلزی ورقی بدون استفاده از قالب است. در این فرآیند، یک ورق فلزی با استفاده از یک قید و بند<sup>۲</sup> در طول محیط آن محدود شده و بهطور مداوم با یک ابزار فلزی با یک سر نیم کروی تغییر شکل داده می‌شود. در واقع در این فرایند یک ابزار سر کروی در طول یک مسیر از پیش تعیین شده بر روی سطح ورق حرکت کرده تا شکل مورد نظر بدست آید. مسیر حرکت ابزار با استفاده از روش‌های طراحی و ساخت به کمک کامپیوتر (CAD-CAM) طراحی شده و توسط دستگاه فرز CNC کنترل می‌شود[۱-۳]. این فرآیند در مقایسه با دیگر فرایندهای شکل‌دهی ورق فلزی مانند کشش عمیق<sup>۳</sup> و مهر زنی<sup>۴</sup> دارای مزایای بیشتری است. عدم نیاز به تجهیزات پیچیده، هزینه‌های پایین‌تر، شکل‌پذیری بهتر، انعطاف‌پذیری بیشتر و توانایی نمونه‌سازی سریع، از مزایای عمدۀ این فرآیند است که می‌تواند محققان را جذب کند[۴]. شکل (۱) جزئیات فرآیند ISF را نشان می‌دهد. در چند دهه اخیر تحقیقات گسترده‌ای در مورد این فرآیند و بهبود آن انجام شده است. یکی از روش‌های مورد استفاده جهت بهبود فرآیندهای شکل‌دهی، استفاده از ارتعاشات فرراصوت<sup>۵</sup> و اعمال آن بر روی ابزار و یا قطعه می‌باشد که منجر به کاهش نیروی شکل‌دهی و بهبود خواص مکانیکی قطعه کار می‌گردد. هدف از انجام این مطالعه، بررسی تأثیر ارتعاشات فرراصوت بر خواص مکانیکی ورق دو لایه جوش انفجراری شده فولاد کم کربن - تیتانیوم خالص در فرآیند شکل‌دهی افزایشی می‌باشد. تاریخچه استفاده از ارتعاشات فرراصوت در فرآیندهای شکل‌دهی فلزات به دهه ۵۰ میلادی باز می‌گردد. در این دهه نخست دو محقق به نام‌های بالاها و لانجینکر [۵] کاهش تنش سیلان تحت تأثیر ارتعاشات فرراصوت را با انجام تست کشش بر روی تک کریستال‌های آلمینیوم و فولاد زنگ نزن مشاهده

<sup>1</sup>- Incremental sheet forming

<sup>2</sup>- fixture

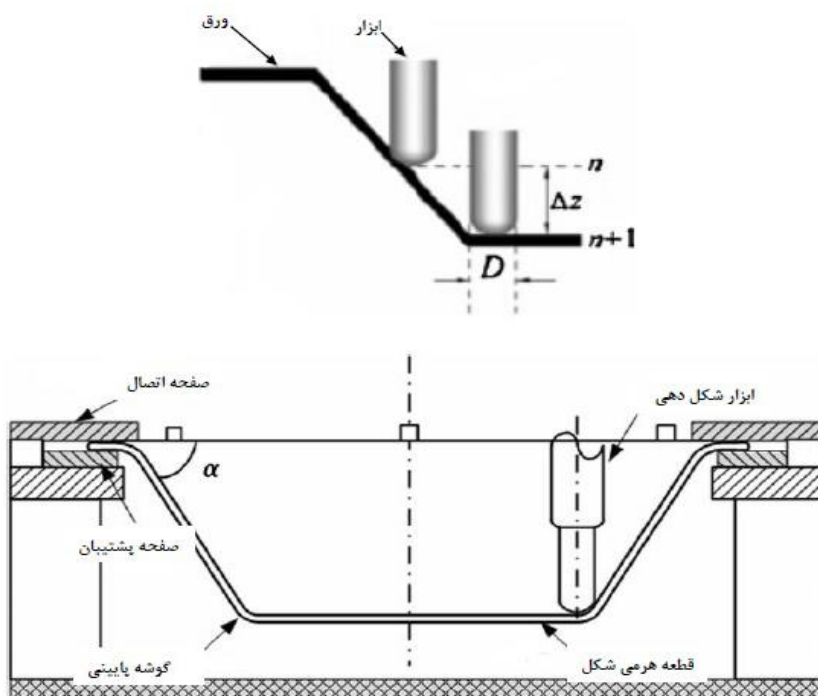
<sup>3</sup>- Deep drawing

<sup>4</sup>- stamping

<sup>5</sup>- Ultrasonic

<sup>6</sup>- Acoustoplastastic

<sup>7</sup>- Spring back



شکل ۱- طرح شماتیک فرآیند ISF

بود که تحت شرایط اعمال ارتعاشات فراصوت، دمای نمونه‌ها افزایش یافته و در نتیجه نیروهای شکل‌دهی کاهش و سطح نمونه‌ها در حین فرآیند پرج‌کاری نرمرد شده است. تجزیه و تحلیل‌های مربوط به بررسی‌های ریزساختاری<sup>۲</sup> و آزمون‌های ریز سختی<sup>۳</sup> نشان داد که جذب انرژی مربوط به نابجایی‌ها در حین فرآیند مذکور رخ داده است که این عامل به کاهش نیروی شکل‌دهی منجر شده است. این تحقیق نتیجه‌گیری می‌کند که مکانیزم‌های افزایش دما و جذب انرژی نابجایی‌ها به عنوان دو عامل تأثیرگذار بر خواص مواد، کاهش نیروهای شکل‌دهی را منجر می‌شود. در سال ۲۰۰۷، چانگ مین سو و همکاران<sup>[۱۷]</sup> تأثیر ارتعاشات فراصوت بر خواص مکانیکی حاصل از فورج سرد یک فولاد ابزار را بررسی نمودند. در این تحقیق یک فرکانس ۲۰ کیلو هرتز از طریق نوک ابزار مرتعش همراه با اعمال نیروی ثابت ۱۰۰ نیوتن بر روی سطح نمونه فولادی اعمال گردید. در این فرایند به دلیل اعمال چند ده هزار بار ضربه متناوب ابزار بر روی لایه‌های سطحی نمونه فولادی، تغییر شکل پلاستیک شدیدی بر

در این تحقیق که از روش آهنگری برای ساخت چاقو استفاده شده است مشاهده گردید که استفاده از ارتعاشات فراصوت، باعث کاهش اندازه دانه و افزایش سختی گردیده و تنش‌های پسماند سطحی نیز کاهش یافته است. در این مطالعه پیشنهاد شد که از ارتعاشات فراصوت به طور موثری می‌توان برای بهبود خواص مکانیکی در فرآیندهای شکل‌دهی استفاده نمود. سی یو و همکاران<sup>[۱۵]</sup> ساختار نمونه‌های آلومینیومی که تحت تأثیر آزمون فشاری به کمک ارتعاشات فراصوت قرار گرفته بودند را مورد بررسی قرار دادند. مشاهدات حاکی از آن بود، نمونه‌هایی که تحت تأثیر ارتعاشات فراصوت تغییرشکل پلاستیک یافته بودند، پس از فرآیند تغییرشکل دارای مقدار زیادی مرزدانه‌های فرعی در ساختار میکروسکوپی بودند که این خود دلالت بر آن است که ارتعاشات فراصوت، باعث افزایش در تحرک نابجایی‌ها می‌گردد. چانگ چنگ هانگ و همکاران<sup>[۱۶]</sup> به منظور بررسی مکانیزم‌های اصلی کاهش نیروی شکل‌دهی تحت تأثیر ارتعاشات فراصوت، آزمایشات پرج‌کاری<sup>۱</sup> به کمک ارتعاشات فراصوت را بر روی آلیاژ آلومینیوم ۶۰۶۱ انجام دادند. یافته‌های این تحقیق دلالت بر این موضوع

<sup>2</sup>-Metallography<sup>3</sup>- Micro hardness<sup>1</sup>- upsetting

جنس آلیاژ آلومینیوم ۲۰۲۴ را در فرآیند شکل دهی چرخشی بررسی نمودند. نتایج بررسی های ریز ساختاری و آزمون میکرو سختی نشان داد که در حضور ارتعاشات فراصوت تشکیل رسوب کاهش یافته و همچنین شکل و توزیع رسوب در ریز ساختار، خصوصاً در نزدیکی سطح بیرونی قطعه تا عمق ۲ میلیمتر نیز تغییر یافته است. علاوه بر این، با استفاده از ارتعاشات فراصوت، علاوه بر سختی و عمق لایه های سخت شده، یکنواختی بیشتری در توزیع سختی در امتداد ضخامت حاصل شد. سان و همکاران [۲۴] فرآیند نورد سطحی به کمک ارتعاشات فراصوت را بررسی نمودند. این روش، یک روش موثر برای بهبود کیفیت سطح مواد، از قبیل کیفیت سطح نهایی، ریز ساختار و وضعیت تنش است. نتایج نشان داد که صافی و پیوستگی سطح توسط فرآیند مذکور بهبود یافته است و بهترین کیفیت با سرعت تغذیه ۰/۱ میلیمتر بر متر به دست آمده است. تحت شرایط مطلوب آزمایشی، زبری سطح به ۰/۰۵۹ میکرومتر کاهش یافت و تنش های باقیمانده فشاری سطحی محوری و مماسی به ترتیب به ۱۳۰/۶ و ۳۳۰/۸- مگاپاسکال و مقدار میکروسختی آن نیز ۴۱/۳٪ افزایش یافت. برای توضیح اثر ارتعاشات فراصوت بر رفتار تغییر شکل و خواص مکانیکی نمونه های فلزی تعدادی از محققین مکانیزم های مختلفی را به صورت ذیل پیشنهاد نمودند [۲۵]: ایجاد حرارت در اثر تبدیل کار مکانیکی به گرما، بارگذاری متناوب که به عنوان اصل جمع شوندگی تنش<sup>۲</sup> شناخته شده است، تولید نابجایی های متحرک در طول اعمال تنش و تغییر شکل های در مقیاس میکرونی در قطعه کار. در سالهای اخیر استفاده از ورق های دولایه در کاربردهای صنعتی افزایش یافته است. همچنین اثرات عملیات ثانویه بر ورق های جوش انفجراری شده از موضوعات جذاب تحقیقات سالیان اخیر بوده است. مطالعه اثرات عملیات حرارتی بر خواص مکانیکی و متالورژیکی ورق های جوش انفجراری شده [۲۶ و ۲۷]، بررسی اثرات نورد بر ورق های جوش انفجراری شده [۲۸ و ۲۹]، اثرات فرآیند تغییر شکل پلاستیک شدید نورد در کانال های زاویه دار همسان [۳۰] و

<sup>2</sup>- Superposition

روی سطح اتفاق افتاد که حاصل آن ایجاد یک ساختار نانو در لایه های سطحی بود. در سال ۲۰۰۸، وانگ تینگ و همکاران [۱۸] تأثیر ارتعاشات فراصوت را بر روی فرآیند نورد سطحی یک فولاد آلیاژی پر کرم بررسی نمودند. در این فرآیند با کمک گرفتن از ارتعاشات فراصوت و اعمال آن بر روی نورد سطحی، تغییر شکل پلاستیک سطحی شدید بر روی لایه های سطحی، ایجاد لایه ریز ساختار با اندازه دانه ۳ تا ۷ نانومتر را بر روی سطح نشان داد. همچنین آزمون های مکانیکی انجام شده نشان داد که سختی سطحی تا ۵۲ درصد افزایش یافته و تنش فشاری باقیمانده بر روی سطح نیز به ۸۶۴- مگا پاسکال رسیده است. امینی و همکاران [۱۹] و [۲۰] فرآیند شکل دهی افزایشی به کمک ارتعاشات فراصوت ورق آلومینیوم ۱۰۵۰ را به صورت عددی و تجربی مورد مطالعه قرار دادند. در مطالعه مذکور فرآیند شکل دهی افزایشی با و بدون ارتعاشات فراصوت با یکدیگر مقایسه گردید. نتایج به دست آمده نشان داد که اعمال ارتعاشات فراصوت، باعث افزایش شکل پذیری و کاهش پارامترهایی همچون نیروی لازم برای شکل دهی، زبری سطح و برگشت فنری می شود. احمدی و همکاران [۲۱] تأثیر اندازه دانه بر نرم شدن ماده تحت تأثیر ارتعاشات فراصوت را بررسی نمودند. هدف از انجام این تحقیق، بررسی عامل اصلی اثرات حجمی ناشی از اعمال ارتعاشات فراصوت بر رفتار تغییر شکل پلاستیکی نمونه های آلومینیوم خالص بود. با قرزاده و همکاران [۲۲] اثر اعمال ارتعاشات فراصوت بر خواص مکانیکی و ریز ساختار آلیاژ آلومینیوم خالص در فرآیند اکسیتروژن در کانال های زاویه دار همسان<sup>۱</sup> را مورد بررسی قرار دادند. نتایج به دست آمده نشان داد که در اثر اعمال ارتعاشات فراصوت با دامنه ارتعاش ۱۵ میکرومتر، ۲۲ درصد سختی بالاتر، ۱۰ درصد مقاومت فشاری بالاتر و همچنین ۳۰ درصد نیروی شکل دهی پایین تر نسبت به روش متدائل حاصل می شود. رسولی و همکاران [۲۳] اثر ارتعاشات فراصوت بر سختی و ریز ساختار لوله های بدون درز از

<sup>1</sup>- Equal Channel Angular Extrusion

ابزار ارتعاشی نیز نامیده می‌شوند از تئوری ارائه شده توسط هایسل و همکاران استفاده می‌گردد<sup>[۳۳]</sup>. در این تئوری برای رسیدن به فرکانس تشیدید<sup>۳</sup>، طول ابزار ارتعاشی به صورت مضربی از نصف طول موج در نظر گرفته می‌شود و بنابراین کوچکترین واحد برای طول ابزار، ابزار با حالت ارتعاشی طولی  $2/\lambda$  نامیده می‌شود. براساس این تئوری، طول ابزار ارتعاشی به صورت ذیل به دست می‌آید.

$$l = \frac{\lambda}{2} = \frac{C_l}{2f} \quad (1)$$

$$C_l = \sqrt{\frac{E}{\rho}} \quad (2)$$

در روابط بالا  $C_l$  سرعت موج طولی در ابزار،  $f$  فرکانس تشیدید،  $E$  مدول الاستیسیته و  $\rho$  دانسیته ابزار می‌باشد. مطابق با روابط مذکور برای محاسبه طول ابزار مرتعش لازم است تا خواص فیزیکی ماده مورد استفاده در ساخت ابزار ارتعاشی مشخص باشد. در انتخاب مواد ابزار ارتعاشی خواصی همچون صلبیت، مقاومت خستگی بالا، مقاومت در دمای بالا، قابلیت ماشینکاری و اتلاف آکوستیکی پایین می‌باشد در نظر گرفته شوند. با در نظر گرفتن خواص مذکور، فولاد مقاوم به حرارت از نوع H13 [۳۴] به عنوان ماده مورد استفاده در ساخت ابزار انتخاب گردید. در رابطه (۱)،  $f$  فرکانس طبیعی ابزار بوده که می‌باشد برای رسیدن به شرایط تشیدید با فرکانس ژنراتور KHz ۲۰ مطابقت داشته باشد. با توجه به روابط (۱) و (۲) و فرکانس ژنراتور، طول ابزار برابر با mm ۱۳۰ به دست آمد. همچنین به منظور مونتاژ ابزار مرتعش بر روی نگهدارنده ابزار لازم است تا قطر پایه ابزار با قطر نگهدارنده ابزار برابر باشد (D=۳۱ mm)، این موضوع باعث می‌شود تا انرژی ارتعاشی بطور موثر و بدون کمترین اتلافی به ابزار انتقال یابد. همچنین شعاع سر نیمه کروی ابزار بطور رایج برابر با mm ۱۰ انتخاب شد. پارامتر دیگری که در طراحی ابزار ارتعاشی می‌باشد در نظر گرفته شود، شکل خارجی ابزار می‌باشد. در این مطالعه یک طرح پلهای برای شکل خارجی ابزار در نظر گرفته شد. برای رسیدن به حالت تشیدید لازم است تا ابعاد پلهای با دیگر ابعاد ابزار ارتعاشی مطابقت داشته باشد. برای این منظور ابتدا یک طرح اوایله

همچنین شکل دهی افزایشی در ورق‌های جوش انفجاری شده [۳۲ و ۳۱] تعدادی از مطالعات سالیان اخیر بر روی ورق‌های جوش انفجاری شده می‌باشند. یکی از این ورق‌ها، ورق دو لایه جوش انفجاری شده فولاد کم‌کربن - تیتانیوم خالص است که در آن لایه‌ای نازک از تیتانیوم خالص با مقاومت خوردگی بالا بر روی لایه‌ای ضخیم‌تر از فولاد با استحکام و شکل‌پذیری بالا و قیمت پایین به روش جوش انفجاری اتصال می‌یابد. در واقع در این ورق دو لایه، استحکام و شکل‌پذیری بالا و قیمت پایین فولاد کم‌کربن همراه با مقاومت به خوردگی بالای تیتانیوم خالص ترکیب بهینه‌ای را جهت استفاده در کاربردهای همچون مخازن نفت و گاز، صنایع شیمیایی و مبدل‌های حرارتی ایجاد می‌نماید. در این مطالعه قصد بر آن است تا اثر ارتعاشات فراصوت بر بهبود خواص مکانیکی ورق دولایه مذکور در فرآیند شکل دهی افزایشی بررسی شود. تا از نتایج آن بتوان در کاربردهای صنعتی استفاده نمود.

### طراحی و ساخت ابزار ارتعاشی

در این تحقیق لازم است تا به منظور انجام فرآیند شکل دهی نموی و انتقال ارتعاش یک ابزار با سر نیمه کروی طراحی و ساخته شود. توسعه و کاربرد روش‌های فراصوت با توان بالا در فرآیندهای شکل دهی نیازمند استفاده از ابزاری است که بطور دقیق براساس اصول انتشار امواج فراصوت طراحی و ساخته شده باشد. در این حالت این امکان فراهم می‌شود تا بتوان بطور صحیحی انرژی ارتعاشی را توسط مبدل جریان الکتریکی<sup>۱</sup> به ابزار و سطح قطعه کار منتقل نمود. در واقع مبدل جریان الکتریکی، جریان الکتریکی حاصل از ژنراتور را به ارتعاشات طولی تبدیل می‌نمایند. بطور معمول مبدل‌های جریان الکتریکی با توان بالا از یک پیزوالکتریک و یک تقویت کننده امواج صوتی<sup>۲</sup> تشکیل شده‌اند که معمولاً به شکل‌های مخروطی، نمایی، سه‌می، هذلولی و یا پلهای تقسیم‌بندی می‌شوند. وظیفه این تقویت کننده‌ها، افزایش دامنه ارتعاش ایجاد شده توسط مبدل برای اثربداری بیشتر می‌باشد. به منظور طراحی این تقویت کننده‌ها که

<sup>1</sup>- Transducer

<sup>2</sup>- Acoustic horn

<sup>3</sup>- Resonance

تقویت می‌گردد. مطابق با شکل، مجموعه مبدل جریان الکتریکی، نگهدارنده ابزار و ابزار ارتعاشی توسط یک قید و بند مناسب و با توجه به محور اسپیندل دستگاه بر روی دستگاه CNC نصب شد. قسمت دوم از تجهیزات آزمایشگاهی، مربوط به فرآیند شکل‌دهی افزایشی ورق می‌باشد. مطابق با شکل قید و بند مربوط به این فرآیند شامل یک صفحه اتصال، یک صفحه پشتیبان و یک تکیه‌گاه می‌باشد. ورق بین دو صفحه مذکور قرار گرفته و توسط هشت پیچ بر روی تکیه گاه نصب می‌گردد. از یک نیرو سنج<sup>۲</sup> مدل Kistler 9257B برای اندازه گیری نیرو استفاده شد. این نیرو سنج توسط دو عدد روبند و در یک موقعیت مناسب بر روی میز دستگاه CNC نصب گردید. سپس مجموعه قید و بند مربوط به شکل‌دهی نمودی مطابق با شکل (۴) توسط شش پیچ بر روی آن بسته شد.

### روش انجام فرآیند

برای بررسی اثر ارتعاشات فراصوت بر فرآیند شکل‌دهی افزایشی، آزمایشات عملی با و بدون ارتعاشات فراصوت انجام پذیرفت. بدین منظور هر ماقص به عنوان شکل نمونه‌های آزمایشی انتخاب گردید که پارامترهای آن در شکل (۵) نشان داده شده است. برای ایجاد این شکل، مطابق با رابطه (۳) ابزار از یک گوشه واقع بر روی ورق مربعی شکل به طول ۲۰۰ mm شروع به حرکت کرده و به ازای هر میزان پیشروی عمودی  $\Delta Z$  یک طول جدید را طی کرده تا کل شکل هرم حاصل شود.

$$L_{i+1} = L_i - 2\Delta z \tan \alpha \quad (3)$$

در رابطه (۳)، طول جدید طی شده،  $L_{i+1}$  طول طی شده قبلی،  $\Delta Z$  میزان پیشروی ابزار به سمت پایین به ازای یک دور کامل ابزار و  $\alpha$  شبیه دیواره هرم می‌باشد. براساس شکل هندسی هرم ناقص، یک برنامه G – code CNC نوشته و توسط کابل RS – 232 به دستگاه فرستاده شد. در شکل (۶) شکل‌گیری نمونه‌های هرمی در طول فرآیند نشان داده شده است. در حین انجام فرآیند تحت تأثیر اعمال ارتعاشات فراصوت دمای ابزار افزایش یافت که با استفاده از تجهیزات مادون قرمز، دمای ۲۵۰ درجه سانتیگراد بر روی ابزار در حین فرآیند ثبت شد.

<sup>2</sup>- Dynamometer

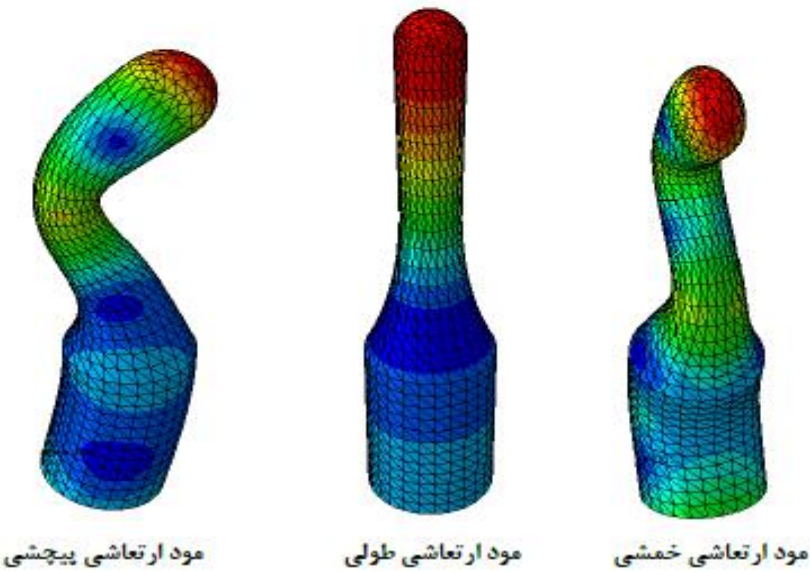
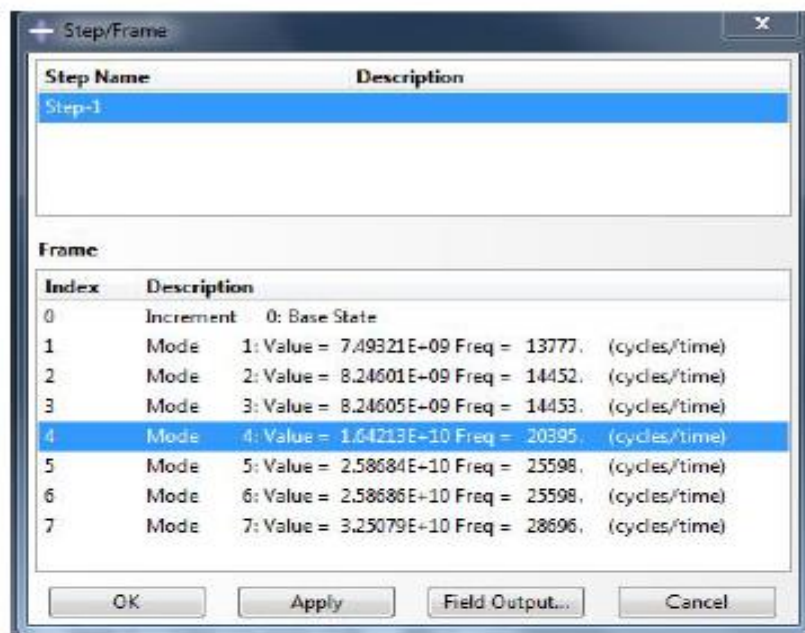
<sup>3</sup>- Vertical step down

برای ابزار ارتعاشی ارائه شد. سپس طرح مذکور در نرم افزار اجزاء محدود آباکوس مدل شد و برای پیدا کردن فرکانس تشدید، تجزیه و تحلیل رفتار دینامیکی<sup>۱</sup> بر روی مدل انجام پذیرفت. چون ارتعاشات به وسیله مبدل جریان الکتریکی طولی اعمال می‌شد، ابزار ارتعاشی در فرکانس عملکردی می‌باشد طوری مورد تنظیم واقع شود تا در حالت ارتعاش طولی قرار گیرد. بر این اساس با تغییر در ابعاد پله و پس از چند سعی و خطا در انجام شبیه‌سازی، فرکانس ۲۰/۳۹۵ KHz با حالت ارتعاش طولی مطابق با شکل (۲) برای ابزار ارتعاشی به دست آمد. براساس ابعاد نهایی به دست آمده حاصل از شبیه‌سازی و به منظور دستیابی به بیشترین راندمان ارتعاش، ساخت ابزار با بالاترین کیفیت سطح انجام شد. ابعاد نهایی ابزار ارتعاشی، مدل سه بعدی مشبندی شده و نمونه ساخته شده آن در شکل (۳) نشان داده است. به منظور تعیین فرکانس تشدید ابزار به صورت آزمایشگاهی، ابزار ارتعاشی ساخته شده بر روی مبدل جریان الکتریکی مونتاژ شد و توسط ژنراتور مورد آزمایش قرار گرفت. پس از اعمال ارتعاش توسط مبدل جریان الکتریکی و تنظیم ژنراتور در محدوده فرکانس به دست آمده از شبیه‌سازی، فرکانس تشدید معادل ۲۰/۴۵۰ KHz در شرایط آزمایشگاهی برای ابزار ارتعاشی به دست آمد که تطابق خوبی با نتایج حاصل از آنالیز رفتار دینامیکی ابزار نشان داد.

### تجهیزات آزمایشگاهی

در این مطالعه آزمایشات توسط یک ماشین فرز CNC ساخته شده توسط ماشین سازی تبریز انجام شد. مطابق با شکل (۴) تجهیزات آزمایشگاهی مورد استفاده در این مطالعه از دو قسمت تشکیل شده است. قسمت اول شامل تجهیزات مربوط به سیستم تولید و انتقال ارتعاشات فراصوت می‌باشد. در این سیستم یک ژنراتور فراصوت با فرکانس ۲۰ KHz و توان ۲ KW جریان برق شهر با ۲۰ KHz فرکانس ۶۰-۶۰ Hz را به جریان با فرکانس بالا تبدیل می‌نماید. برای تبدیل توان الکتریکی به ارتعاشات مکانیکی با حالت ارتعاش طولی از مبدل جریان الکتریکی طولی استفاده گردید. ارتعاش ایجاد شده، به نگهدارنده ابزار منتقل شده و توسط ابزار ارتعاشی متصل به آن

<sup>1</sup>- Modal analysis

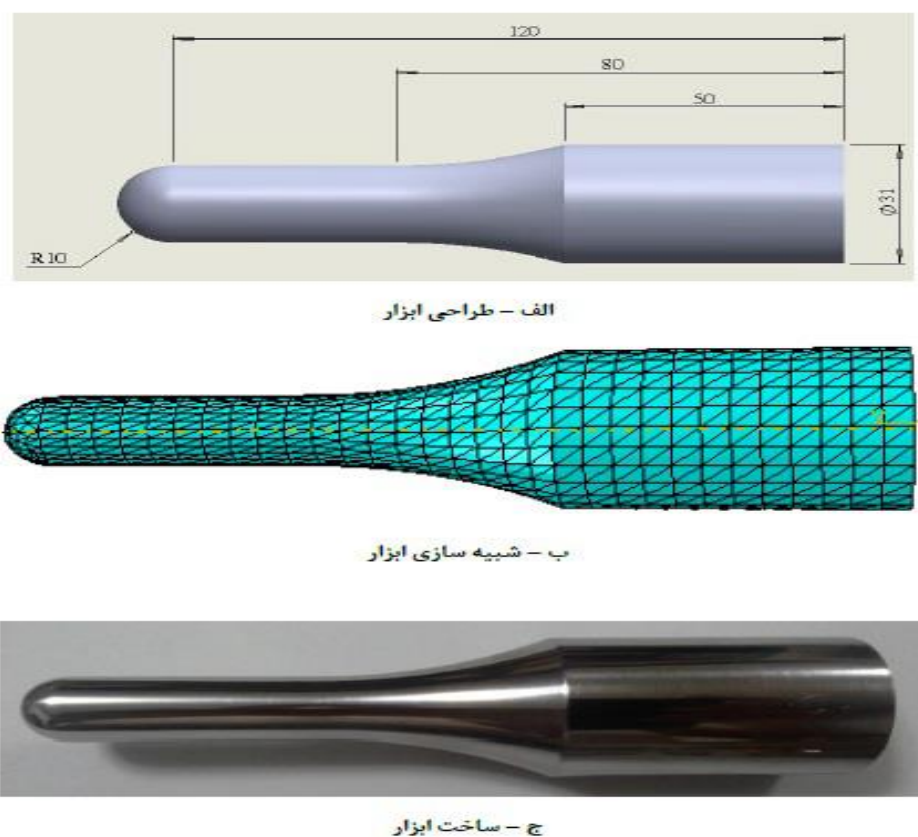


شکل ۲- شبیه سازی ابزار ارتعاشی

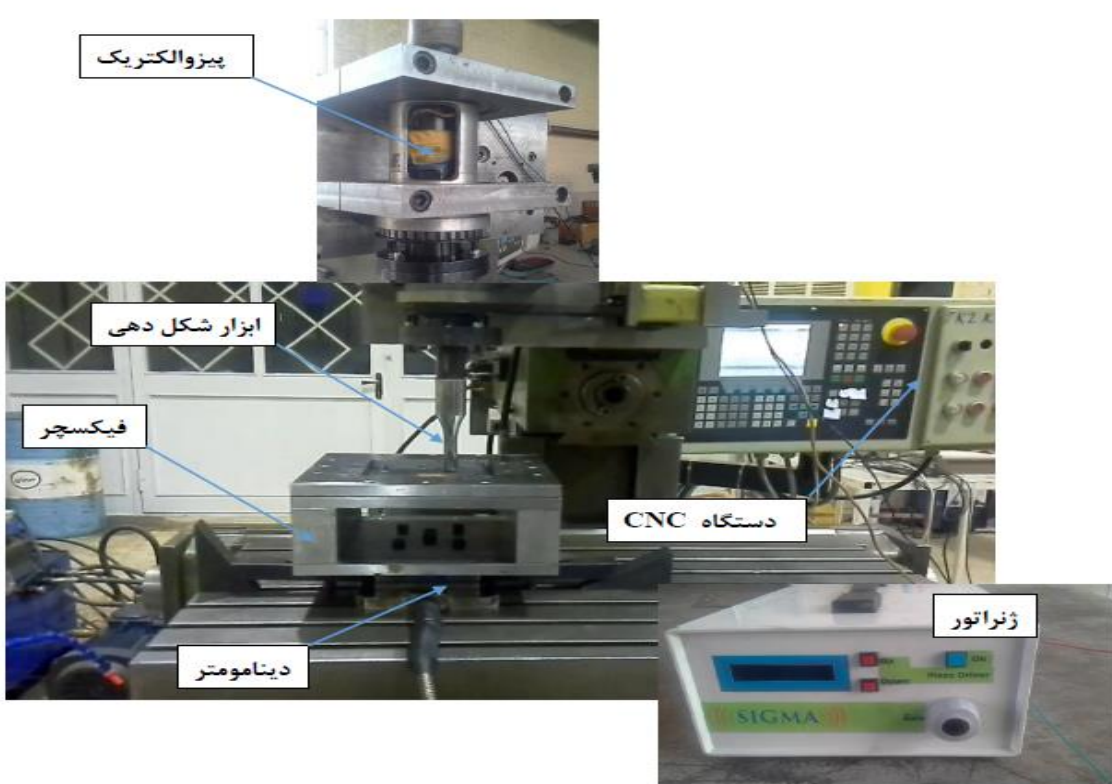
### آزمون های مکانیکی

برای بررسی اثر ارتعاشات فراصوت بر خواص مکانیکی نمونه های تولید شده، آزمون های میکرو سختی و کشش بر روی نمونه ها انجام شد. در این راستا نمونه های آزمون کشش از داخل دیواره عمودی نمونه های هرمی توسط دستگاه برش سیم<sup>۱</sup> برداشته شد. آزمون کشش تک محوری در دمای محیط با استفاده از دستگاه آزمون کشش سنتام مدل STM - 150 - مطابق با استاندارد

JIS 5-1/5 JIS - 5 و با سرعت کشش ۲ میلیمتر بر دقیقه انجام شد. اندازه گیری تغییر طول نمونه های کششی ( $\Delta L$ ) و نیرو توسط کشش سنج<sup>۲</sup> و نیرو سنج در محدوده ۵۰۰۰ نیوتن انجام پذیرفت. در شکل (۷)، نمونه آزمون کشش در حال انجام آزمون و ابعاد آن نشان داده شده است.



شکل ۳ - طراحی و ساخت ابزار ارتعاشی



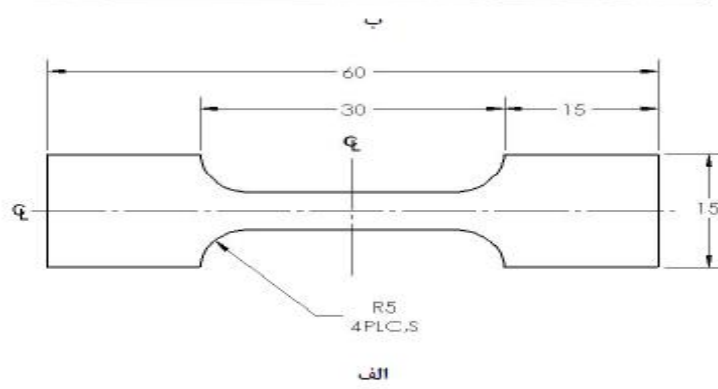
شکل ۴ - تجهیزات آزمایشگاهی جهت انجام فرآیند شکل دهنده نموی به کمک ارتعاشات فراصوت



شکل ۵ - پارامترهای هندسی شکل هرم ناقص



شکل ۶ - شکل گیری نمونه هرمی در حین فرآیند



شکل ۷ - نمونه آزمون کشش و ابعاد آن، الف - ابعاد نمونه‌های کشش ب - کشش نمونه‌ها در دستگاه آزمون  
کشش

است. با افزایش در  $\Delta Z_f$  و  $f$  دانه ها رشتہ ای شده و حجم جزیی دانه های ریز هم محور واقع در امتداد مرز دانه ها افزایش یافته است. مکانیزم حاکم بر این فرآیند خرد شدن دانه های اولیه فریت و تقسیم شدن آن به دانه های کوچکتر در اثر شکل گیری مرزهای با زاویه کم می باشد. ساختار میکروسکوپی حاصل ناهمگن بوده که از دانه های درشت تغییر شکل یافته و تعدادی دانه های ریز هم محور تشکیل شده است. تغییرات ریز ساختاری ایجاد شده بر وقوع پدیده تبلور مجدد پیوسته<sup>7</sup> (CDRX) دلالت می نماید [۳۵]. تبلور مجدد پیوسته (CDRX)، پدیده ای است که با افزایش در مقدار کرنش، زاویه انحراف<sup>8</sup> در امتداد مرز دانه های فرعی بطری پیوسته افزایش یافته به گونه ای که در اثر این تغییرات، مرزهای فرعی به مرزهای با زاویه زیاد تغییر می یابند به گونه ای که دانه های فریت به دانه های کوچک تر تقسیم می شوند که این موضوع تحت تأثیر ترخ کرنش های بالا شدت می یابد [۳۶]. در واقع این فرآیند یک فرآیند بهبود در اندازه دانه ها<sup>9</sup> به صورت دینامیکی است. پارامترهایی که این پدیده را تسريع می نمایند عبارتند از: بالا بودن انرژی نقص انباستگی در اتم ها<sup>۱۰</sup>، پایین بودن مقادیر اتم های حلال، کرنش های بزرگ و بالا بودن دمای تغییر شکل. در واقع اگر دمای تغییر شکل در محدوده کم تر از نصف دمای ذوب ماده باشد ( $T_m < T$ ) و ماده دارای مقدار بالایی از انرژی نقص انباستگی در اتم ها باشد، (CDRX) مکانیزم حاکم بر نرم شوندگی ماده در شرایط کار گرم خواهد بود [۳۷]. تحقیقات انجام شده، نشان داده است که در ساختار فریت و تیتانیوم خالص به علت بالا بودن انرژی نقص انباستگی در اتم ها، CDRX به عنوان مکانیزم حاکم در نرم شوندگی دینامیکی می باشد [۳۸]. در این تحقیق به دلیل بالا بودن دمای تغییر شکل و بالا بودن SFE هر دو جزء از ورق دو لایه می توان پدیده CDRX را به عنوان مکانیزم حاکم بر نرم شدن ماده تحت تأثیر ارتعاشات فراصوت در نظر گرفت. اندازه دانه های لایه فولاد که با ابزار در تماس می باشد، با استفاده از روش های پردازش تصویر در تمامی حالت های آزمون ها به دست آمد که نتایج در شکل (۹) نشان داده شده است.

## بررسی های ریز ساختاری

به منظور بررسی اختلاف خواص مکانیکی بین دو حالت با و بدون اعمال ارتعاشات فراصوت تغییرات ریز ساختاری در نمونه های تغییر شکل یافته در دو حالت مورد بررسی قرار گرفت. برای این منظور، نمونه ها از دیوار داخلی هر قطعه هرمی، جایی که تغییر شکل اتفاق افتاد با استفاده از دستگاه برش سیم برداشته و سپس برای عملیات متالوگرافی آماده شد. پس از قرار دادن نمونه ها در یک قالب مشخصی از رزین<sup>۱</sup>، برای رسیدن به یک سطح صاف و براق، نمونه ها تحت عملیات صیقل کاری<sup>۲</sup> مکانیکی قرار گرفتند. سپس عملیات حکاکی<sup>۳</sup> شیمیایی با استفاده از محلول شیمیایی نایتیون<sup>۴</sup> برای لایه فولادی انجام شد و در نهایت سطح نمونه ها در زیر میکروسکوپ نوری مورد مشاهده و ارزیابی قرار گرفت. در این راستا، اندازه متوسط دانه ها با استفاده از نرم افزار پردازش تصاویر ریز ساختاری MIP ۴ اندازه گیری شد.

## نتایج و بحث

### تغییرات ریز ساختاری

در این بخش تغییرات ریز ساختاری ناشی از اعمال ارتعاشات فراصوت بر روی نمونه ها به عنوان عاملی برای بهبود در خواص مکانیکی مورد بررسی قرار گرفته است. با توجه به آن که اعمال ارتعاش، باعث افزایش دمای نمونه ها تا  $250^{\circ}\text{C}$  شده است می توان، تغییر شکل (۸) ساختار میکروسکوپی نمونه های تغییر شکل یافته با و بدون ارتعاشات فراصوت را نشان می دهد. این تصاویر ریز ساختاری مربوط به لایه فولادی است که در تماس با ابزار شکل دهنده قرار داشته است. مقایسه ساختارها در دو حالت نشان می دهد که تحت شرایط بدون ارتعاش، دانه های هم محور بوده و در مورد نمونه های با ارتعاش، بعضی از دانه ها به شکل هم محور بوده و در بعضی از دانه ها در امتداد مرز دانه ها، دانه هایی با اندازه کوچک<sup>۵</sup> گسترش یافته

1- Mount

2- Polishing

3- Etching

4- Nitinol

<sup>5</sup>- warm

6- fine grain

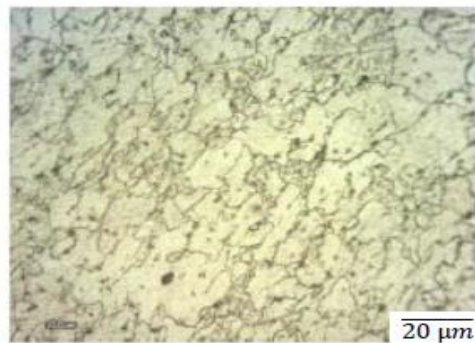
<sup>7</sup>- Continuous dynamic recrystallization

<sup>8</sup>- Misorientation

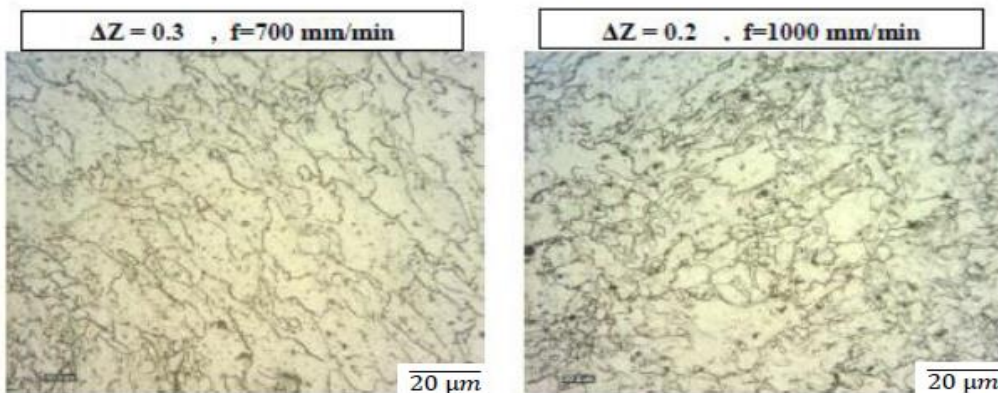
<sup>9</sup>- grain refinement

<sup>10</sup>- Stacking fault energy (SFE)

### بدون اولتراسونیک



### با اولتراسونیک



شکل ۸ - ساختار میکروسکوپی نمونه های تغییرشکل یافته مربوط به لایه فولادی در تماس با ابزار شکل دهنده در دو حالت با و بدون ارتعاشات فراصوت

بطوری که مطابق با شکل های مذکور، سختی تا ۵۰ درصد و استحکام کششی تا ۳۰ درصد تحت تأثیر ارتعاشات فرراصوت افزایش یافته است. دلیل این موضوع را همان گونه که در بررسی های ساختار میکروسکوپی ذکر گردید، می توان به ریز شدن دانه ها در اثر پدیده تبلور مجدد دینامیکی (CDRX) نسبت داد. برای توصیف اثر دما و نرخ تغییرشکل بر روی اندازه دانه های تبلور مجدد یافته از پارامتر زنر - هولمان<sup>۱</sup> ( $Z$ ) مطابق با رابطه (۴) استفاده می گردد.

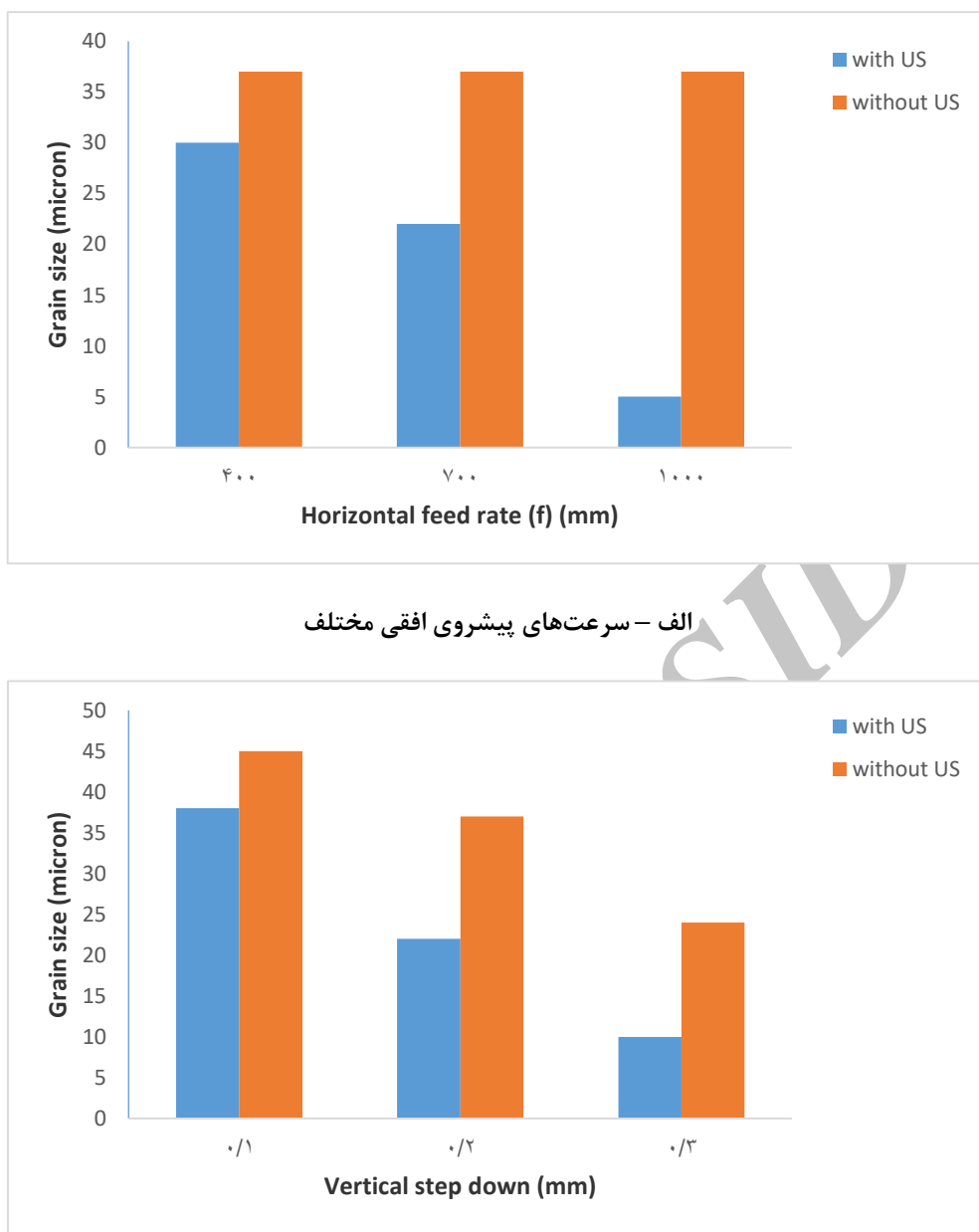
$$Z = \dot{\epsilon} \exp\left(\frac{Q}{RT}\right) \quad (4)$$

همان گونه که از تصاویر مشاهده می شود، تحت شرایط اعمال ارتعاشات فرراصوت اندازه دانه های لایه فولاد کاهش یافته است و بیشترین کاهش نیز مربوط به شرایط سرعت پیشروی افقی ۱۰۰۰ mm/min و میزان پیشروی عمودی ۰/۲ میلیمتر تحت شرایط اعمال ارتعاشات فرراصوت می باشد.

### تأثیر ارتعاشات فرراصوت بر خواص مکانیکی

شکل (۱۰) نمودار استحکام کششی و شکل (۱۱) نمودار سختی نمونه های با و بدون ارتعاشات فرراصوت را نشان می دهند. همان گونه که از شکل های مذکور دیده می شود، با اعمال ارتعاشات فرراصوت بر روی نمونه ها هر دو پارامتر سختی و استحکام کششی افزایش یافته است،

<sup>۱</sup>- Zener-Holloman ( $Z$ )



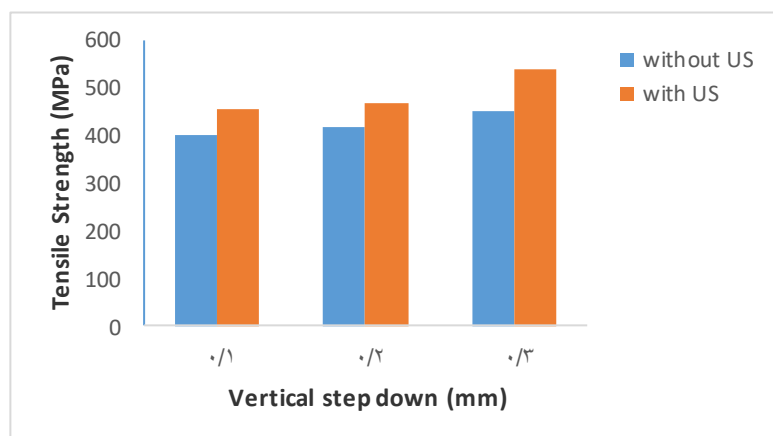
شکل ۹ - تغییرات اندازه دانه در نمونه‌های تحت تأثیر ارتعاشات فراصوت در سرعت‌های پیشروی افقی و عمودی مختلف

افزایش در نرخ کرنش و کاهش دمای تغییرشکل، مقدار پارامتر Z افزایش یافته و به تبع آن اندازه دانه‌ها کاهش می‌یابد [۳۹]. کاهش اندازه دانه‌ها نیز مطابق با رابطه هال - پچ<sup>۱</sup> (رابطه ۵) افزایش سختی و استحکام را در پی خواهد داشت [۳۸].

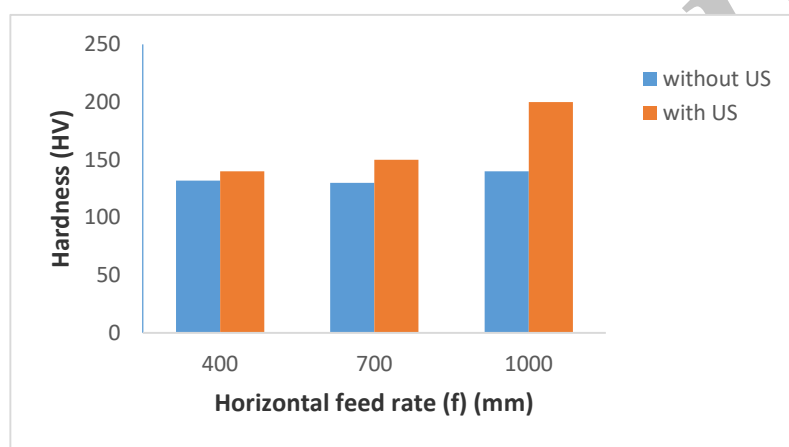
$$\sigma_0 = \sigma_i + kD^{-1/2} \quad (5)$$

<sup>۱</sup>-Hall-petch effect

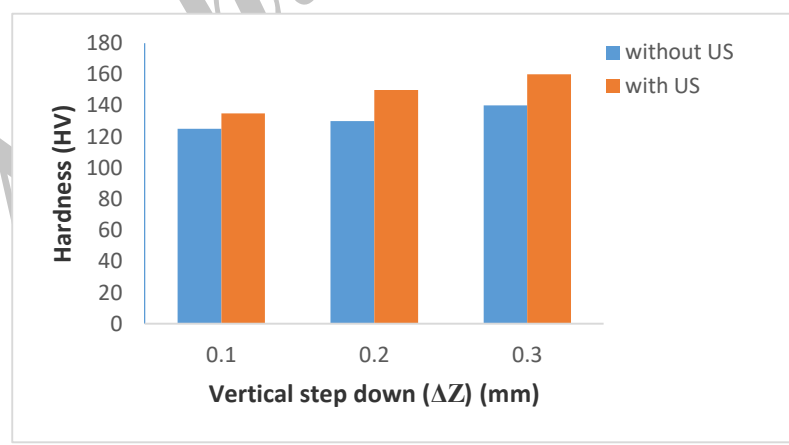
در این رابطه  $\epsilon$  نرخ کرنش، Q انرژی فعال سازی برای تغییر شکل، R ثابت گازها و T دمای تغییرشکل در واحد کلوین می‌باشد. این رابطه برای توصیف اثر دما و نرخ تغییر شکل بر روی رفتار تغییر شکل فلزات به کار برده می‌شود و بطور غیر مستقیم با اندازه دانه‌های تبلور مجدد یافته رابطه معکوس دارد، به این صورت که با افزایش نرخ کرنش، زمان لازم برای رشد دانه‌ها کاهش یافته و تبع آن سرعت رشد دانه‌ها کاهش می‌یابد و بنابراین از درشت شدن دانه‌ها ممانعت می‌شود. از این‌رو می‌توان گفت که با



شکل ۱۰- تأثیر ارتعاشات فرا صوت بر استحکام کششی



الف - سرعت های پیشروی افقی مختلف



ب - سرعت های پیشروی عمودی مختلف

شکل ۱۱- تأثیر ارتعاشات فراصوت بر سختی

ارتعاش، وجود تعدادی دانه‌های ریز هم محور را در امتداد مرزدانه‌های اولیه نشان داد. با توجه به بالا بودن دمای فرآیند در اثر ارتعاش و بالا بودن انرژی نقص انباستگی در اتم‌ها (SFE) در هر یک از اجزاء ورق دو لایه یعنی تیتانیوم خالص و فولاد کم کربن، می‌توان پدیده تبلور مجدد پیوسته (CDRX) را به عنوان مکانیزم حاکم بر ریز شدن ماده در حین فرآیند تحت تأثیر ارتعاشات در نظر گرفت. در این شرایط با افزایش دو پارامتر سرعت پیشروی افقی و میزان پیشروی عمودی ابزار تحت شرایط اعمال ارتعاشات فراصوت نرخ کرنش افزایش یافته که علاوه بر کاهش زمان تولید، مطابق با پارامتر زنر-هولمان (Z) در شرایط تغییرشکل گرم، کاهش در اندازه دانه بیشتری حاصل شده و مطابق آن افزایش در خواص مکانیکی بیشتری حاصل خواهد شد. در این شرایط هر دو پارامتر سختی و استحکام کششی افزایش یافته، بطوری که مطابق با نتایج به دست آمده، سختی تا ۵۰ درصد و استحکام کششی تا ۳۰ درصد تحت تأثیر ارتعاشات فراصوت افزایش یافته است.

در این رابطه  $\sigma_0$  تنیش تسلیم ،  $\sigma_i$  تنیش اصطکاکی، K ثابت بوده و D اندازه دانه‌ها است. مطابق با شکل‌های مذکور، بیشترین افزایش سختی و استحکام مربوط به شرایط اعمال ارتعاشات فراصوت و با سرعت پیشروی افقی (f) mm/min ۱۰۰۰ و میزان پیشروی عمودی (ΔZ) برابر با  $0.2\text{ میلیمتر}$  می‌باشد. این شرایط بیشترین نرخ کرنش را در دمای ثابت در بین حالت‌های مختلف از آزمایش‌های انجام شده ایجاد می‌نماید که مطابق با رابطه<sup>(۴)</sup>، منجر به افزایش در پارامتر Z شده و می‌بایست ریزترین اندازه دانه را هم ایجاد نماید که شرایط فوق مطابق با تصاویر ریزساختاری دارای ریزترین اندازه دانه می‌باشد.

## نتیجه گیری

با اعمال ارتعاشات فراصوت بر روی ابزار در حین فرآیند شکل‌دهی افزایشی، دمای ابزار در اثر تبدیل انرژی ارتعاشی به انرژی گرمایی افزایش یافته و شرایط تغییرشکل به شرایط تغییرشکل گرم تبدیل شد. بررسی‌های ریز ساختاری در نمونه‌های شکل داده شده با

## References:

- 1- Kitazawa K, Advanced Technology of Plasticity. Beijing: International Academic Publisher, 1899-1904, 1993.
- 2- Matsubara M, Tanaka S, Nakamura T, JSME International Journal, 39, 156-163, 1996.
- 3- M. Honarpisheh, M. J. Abdolhoseini, S. Amini, Int J Adv Manuf Technol. 83, 2027–2037, 2016.
- 4- M B Silva, M Skjoedt, A G Atkins, N Bay, and P A F Martins, J Strain Anal Eng Des., 43, 15-35, 2008.
- 5- Blaha, F. and Langenecker, B., Naturwissenschaften, 42(20), 556-556, 1955.
- 6- Nevill, G.E. and Brotzen, F.R., The Rice Institute, Solid Science Division, Air Force Office of Scientific Research, ARDC: Washington, 1957.
- 7- Izumi, O., Oyama, K. and Suzuki, Y., Trans Jpn Inst Met., 7(3), 158-162, 1966.
- 8- Jin, M., Thipprakmas, S., Noguchi, H., Hayashi, M. and Murakawa, A., Simulation of Materials Processing: Theory, Methods and Applications, 475-479, (2001).
- 9- Petukhow, V.L., Abramov, O.V., Zubko, A.M., Manegin and Yu, V., LIGHT MET AGE, 31, 6-8, 1973.
- 10- Tsujino, J., Ueoka, T., Takiguchi, K., Satoh, H. and Takahashi, K., Jpn. J. Appl. Phys., 32, 2447-2451, 1993.
- 11- Tawakoli, T. and Azarhoushang, B., Int J Mach Tool Manufact, 48, 1585-1591, 2008.
- 12- Brehl, D.E. and Dow, T.A., PRECIS ENG, 32, 153-172, 2008.

- 13- Ahmed, N., Mitrofanov, A.V., Babitsky, V.I. and Silberschmidt, V.V, MPSVA VI, Proceedings, 5-6, 351-357, 2006.
- 14-Chang-Min Suha, Gil-Ho Songb, Min-Soo Suha, Young-Shik Pyoun, Mater Sci Eng A, 443, 101-106, 2007.
- 15- Hung, J.C. and Hung, C.H., Ultrasonics, 43(8), 692-698, 2005.
- 16- Jung-Chung Hung, Chih-Chia Lin, Mater. Des., 45, 412-420, 2013.
17. Chang-Min Suha, Gil-Ho Songb, Mater Sci Eng A, 443, 101-106, 2007.
- 18- Wang Ting, Wang Dongpo, Appl. Surf. Sci., 255, 1824-1829, (2008).
- 19- Mehdi Vahdati, Ramezanali Mahdavinejad and Saeid Amini, J. Eng. Manuf, 231, 971-982, 2015.
- 20- Saeid Amini, Ahmad Hosseinpour Gollo, Hossein Pakhtinat, Int J Adv Manuf Technol., 90, 1569-1578, 2017.
- 21- 103. F. Ahmadi, M. Farzin, M. Mandegari, Ultrasonics, 63, 111-117, 2015.
- 22- Saeed Bagherzadeh, Karen Abrinia, Yanfei Liu, Qingyou Han, Int J Adv Manuf Technol., 88, 1-4, 229-240, 2017.
- 23- Mohammadali Rasooli, Mehrshad Moshref-javadi, Aboozar Taherizadeh, Int J Adv Manuf Technol., 77, 9-12, 2117-2124, 2015.
- 24- L. X. Lu, J. Sun, L. Li, Q. C. Xiong, Int J Adv Manuf Technol., 87, 9-12, 2533-2539, 2016.
- 25- Wilko C. Emmens, Formability, Springer, The Netherlands, 67-70, 2011.
- 26.
- 26- Honarpisheh, M., Asemabadi, M., Sedighi, M. Materials & Design 37, 122-127, 2012.
- 27- Kasmaei M, Honarpisheh M. Journal of Modares Mech Eng 15 (1): 397-402, 2015.
- 28- Honarpisheh, M., Niksokhan, J., Nazari, F., Metallurgical Research & Technology 113(1), 105, 2016.
- 29- Sedighi, M., M. Honarpisheh. Strength of Materials 44(6), 693-698, 2012.
- 30- Honarpisheh, M., Dehghani, M., Haghigat, E. Procedia Materials Science, 11, 1-5, 2015.
- 31- M. R. Sakhtemanian, M. Honarpisheh, S. Amini., Int J Adv Manuf Technol., 10.1007/s00170-017-1462-z, 2017.
- 32- Honarpisheh, M., & Gheysarian, A. Journal of Computational & Applied Research in Mechanical Engineering (JCARME), 7(1), 73-83, 2017.
33. Heisel, U., Wallaschek, J., Eisseler, R. and Potthast, C., CIRP Ann Manuf Technol., 57, 53-56, 2008.
- 34- SAAJ STEEL CORPORATION, Website: [www.saajsteel.com](http://www.saajsteel.com)
- 35- B. Eghbali, Materials Letters, 61, 4006-4010, 2007.
- 36- A. Gholinia, P.B. Prangnell, M.V. Markushev, Acta Materialia, 48, 1115-1130, 2000.
37. B. Eghbali, A. Abdollah-Zadeh, H. Beladi, P.D. Hodgsonc, Mater Sci Eng A, 435-436, 499–503, 2006.
- 38- Zhipeng Zeng, Yanshu Zhang, Stefan Jonsson, Mater. Des., 30, 3105-3111, 2009.

- 39- Seyed Vahid Sajadifar and Guney  
Guven Yapici, JMEPEG, 23,1834-1844,  
2014.

Archive of SID